

電力中央研究所 正員 中村秀治  
電力中央研究所 正員 青柳栄

### 1. まえがき

先に、参考文献1)～3)において、薄肉構造部材に関連して現われる定数係数常微分方程式が有する特異な性質を指摘し、その特質を生かした2つの数値解法を提案した。その1つは固有値解析に基づくものであるが、適用範囲は線形定数係数の場合にほぼ限定される。しかし、本来、弹性体に見られる現象は線形性が強く、大変形のようないくつかの非線形性は線形解を補正する形で考慮されている。この点が流体などと根本的に異なる所であり、擾動概念を導入して、先に述べた解法を非定数係数あるいは非線形の場合へ拡張する余地が生まれる。以下に、その概略を述べ、数値計算例を示す。

### 2. 擾動法の導入と数値計算アルゴリズム

与えられた未知関数  $y(x)$  に関する微分方程式を  $F[y] = 0$  とする時、これを書き改めて  $C[y] - N[y] = 0$  と表示することができる。ここで、 $C$  は定数係数を持つ線形部分であり、 $N$  は非定数係数あるいは非線形部分である。すおむに  $N$  について、微小位変  $\epsilon$  を用いて、次の形に展開できるものとすれば、

$$\begin{aligned} y(x) &= y_0(x) + \epsilon y_1(x) + \epsilon^2 y_2(x) + \dots \\ N[y] &= \epsilon N_1[y_0] + \epsilon^2 N_2[y_0, y_1] + \epsilon^3 N_3[y_0, y_1, y_2] + \dots \end{aligned} \quad \left. \right\} \quad (1)$$

この時、 $C$  は線形であるから、

$$C[y_0 + \epsilon y_1 + \epsilon^2 y_2 + \dots] = C[y_0] + \epsilon C[y_1] + \epsilon^2 C[y_2] + \dots \quad (2)$$

式(1), (2)より、その同値を比較すると

$$\begin{aligned} C[y_0] &= 0 \\ C[y_1] &= N_1[y_0] \end{aligned} \quad \left. \right\} \quad (3)$$

$$C[y_{n+1}] = N_{n+1}[y_0, y_1, \dots, y_n]$$

となり、式(3)の左1式は線形方程式で解けて、右2式以後はそれまでに得られた解を用いて解ける。<sup>4)</sup> 以上が擾動法の一般論である。しかし、我々が特に静的構造解析を行はう場合に、多元連立微分方程式などをどのように定め、どのよう式(3)の形に持ち込めばよいのであるか。それは擾動概念を説明するために有用ではあるが、本質的には何ら重要ではない。正規形の連立常微分方程式

$$\frac{dy(x)}{dx} = A(x, Y) Y(x) + Q(x) \quad (4)$$

の解を次のように求めようとしても、それが十分収束していなければ、正解のはずである。

#### 2.1 非定数係数線形常微分方程式の場合 (式(4)の係数マトリックスが $A(x)$ の場合)

$$\begin{aligned} A(x) &= A_C + A_N(x) \\ Y(x) &= Y_0(x) + Y_1(x) + Y_2(x) + Y_3(x) + \dots \end{aligned} \quad \left. \right\} \quad (5)$$

ここで、 $A_C$  は微小変位理論のもとに一様平均断面で導かれた係数マトリックス

と展開されば、式(5)を式(4)に代入して

$$\left( \frac{\partial Y_0}{\partial x} + \frac{\partial Y_1}{\partial x} + \frac{\partial Y_2}{\partial x} + \dots \right) = (A_C Y_0 + Q) + (A_C Y_1 + A_N Y_0) + (A_C Y_2 + A_N Y_1) + \dots \quad (6)$$

つまり、

$$\begin{aligned} \frac{\partial Y_0}{\partial x} &= A_C Y_0 + Q \\ \frac{\partial Y_1}{\partial x} &= A_C Y_1 + A_N Y_0 \\ \frac{\partial Y_2}{\partial x} &= A_C Y_2 + A_N Y_1 \end{aligned} \quad \left. \right\} \quad (7)$$

境界条件は式1式が与えられた境界条件を満足し、式2次式以後は同次の補助条件を満足すべきである。

## 2.2 非線形常微分方程式の場合（式5）の係数マトリックスが $A(Y)$ の場合

$$A(Y) = A_C + A_N(Y) \quad (8)$$

$$Y(x) = Y_0(x) + Y_1(x) + Y_2(x) + Y_3(x) + \dots$$

ここで  $A_C$  は微小変位理論のもとに一様平均断面で導かれた係数マトリックスと展開すれば、式(8)を式(6)に代入して、

$$\begin{aligned} & \frac{dY_0}{dx} + \frac{dY_1}{dx} + \frac{dY_2}{dx} + \dots \\ &= (A_C Y_0 + Q) + \{ A_C Y_1 + A_N(Y_0, Y_1, Y_2, \dots) Y_1 \} \\ & \quad + \{ A_C Y_2 + A_N(Y_0, Y_1, Y_2, \dots) Y_2 \} \\ & \quad + \{ A_C Y_3 + A_N(Y_0, Y_1, Y_2, \dots) Y_3 \} \\ & \quad + \dots \end{aligned} \quad (9)$$

そこから  $C$ ,  $Y_1^{(0)} = Y_2^{(0)} = \dots = 0$  として次のプリエリズムが得られる。

$$P = 0$$

$$\frac{dY_0}{dx} = A_C Y_0 + Q$$

$$P = P + 1$$

$$\frac{dY_1}{dx} = A_C Y_1 + A_N(Y_0, Y_1^{(P-1)}, Y_2^{(P-1)}, Y_3^{(P-1)}, \dots) Y_1$$

$$\frac{dY_2}{dx} = A_C Y_2 + A_N(Y_0, Y_1^{(P-1)}, Y_2^{(P-1)}, Y_3^{(P-1)}, \dots) Y_2$$

$$\frac{dY_{M+1}}{dx} = A_C Y_M + A_N(Y_0, Y_1^{(P-1)}, Y_2^{(P-1)}, Y_3^{(P-1)}, \dots) Y_M$$

NO 収束判定  
YES  
STOP

式(9)の式1式が境界条件を他は同次の補助条件を満足する。

## 3. 数値計算例

Fig. 1 に示す四錐版モデル（右端完全固定、左端に剛性板が接着されモードが作用）について文献2)に述べた四錐版、四錐版の式で数値計算した結果を Fig. 2 に示す。

## 4. あとがき

以上、薄肉構造部材に関する非定数係数、あるいは非線形常微分方程式の擾動法による数値解法について述べ、数値計算例を示した。擾動法は非線形振動論を中心として発達しており、多くの解析的検討がなされたが、実際に解を求める場合、解の複雑さのために2次、あるいは3次の近似などとなり、解の収束も確認られないことが殆どである。その意味で計算機の使用を前提とした本解法は興味がある。ただし「擾動解が収束するなら、このような解法が成立し得る」というだけで、それ以上の議論はまだ行はれていない。収束性、本解法の適用範囲等の検討は今後の課題としたい。

## 5. 参考文献

- 1) 中村秀治：管路、薄肉ばかりなどの線形常微分方程式の一数値解法、土木学会論文報告集 No.271 1978, 3
- 2) 中村秀治：四錐、四錐形状をもつ管路のシエルとしての応力解析、土木学会論文報告集 No.285 1979, 5
- 3) 中村秀治：数値誤差を改善した伝達マトリックス法の提案、土木学会論文報告集 No.289 1979, 9
- 4) 近藤次郎：技術者・研究者のための応用数学、下、丸善、1965
- 5) Bellman, R : Perturbation Techniques in Mathematics, Physics and Engineering. Athena Series, Holt, Rinehart and Winston. Inc., 1964

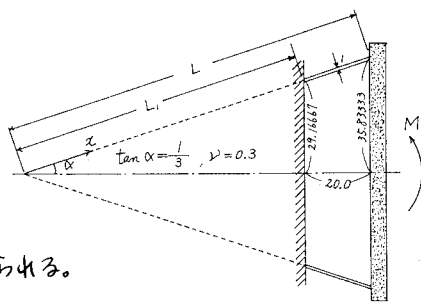


Fig. 1 計算モデル

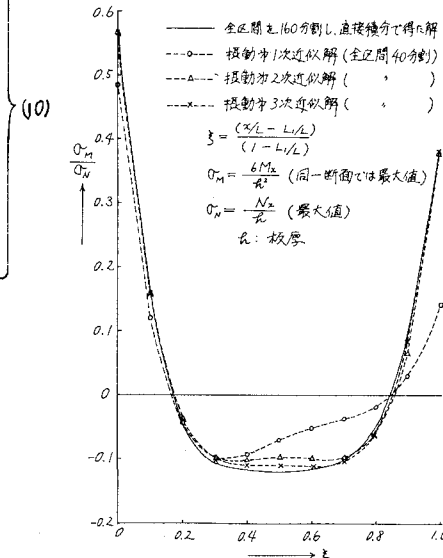


Fig. 2 計算結果